









CURSO 4

Aplicação de Métodos Estatísticos Espaciais para Análise de Dados Geográficos.

AULA 1 - Análise de Padrão de Distribuição de Pontos.

Dr. Eduardo Camargo eduardo.camargo@inpe.br

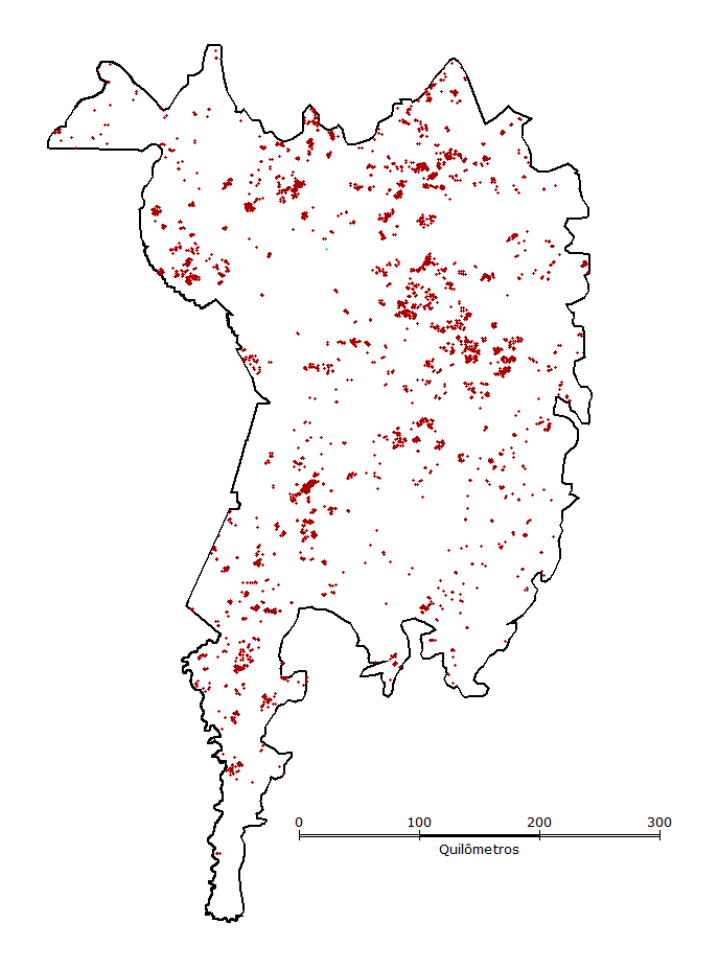
Dr. Carlos Felgueiras carlos.felgueiras@inpe.br

Sumário

- Introdução
- Caracterização da Distribuição de Pontos
- Estimador de Kernel
- Método do Vizinho Mais Próximo
- Método do Vizinho Mais Próximo com Simulação
- Função L
- Função L com Simulação
- Exemplos Práticos com o Sistema TerraView 4.2.2 e SPRING 5.5.6

Introdução

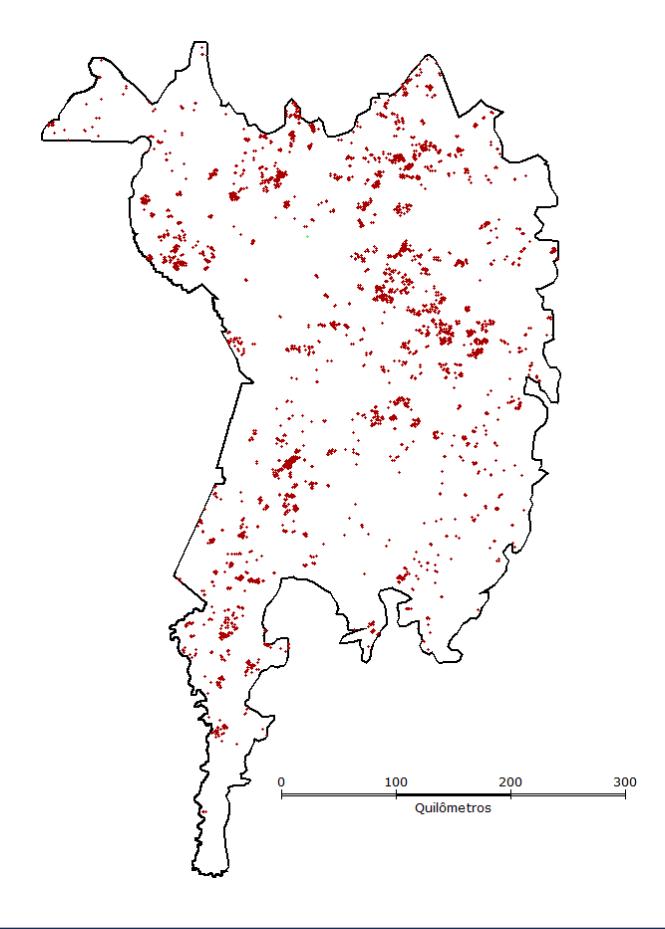
A distribuição de pontos é representada por um conjunto de localizações, contidos em uma área de estudo, que <u>estão associados a eventos de interesses</u>.



Introdução

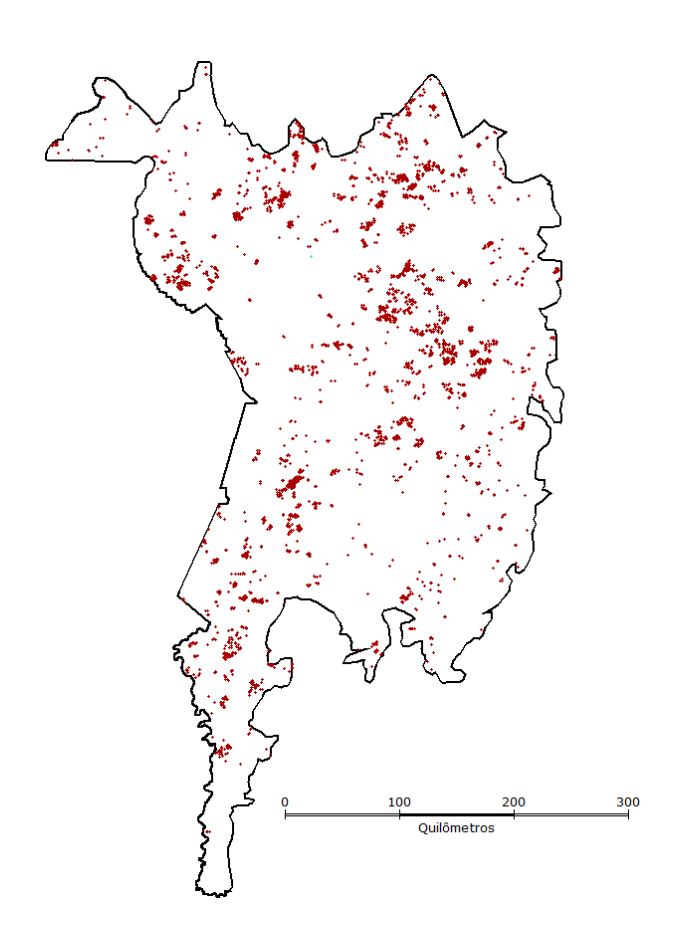
A distribuição de pontos pode corresponder a dados como:

- índices de mortalidades;
- ocorrências de doenças;
- localização de espécie vegetais, focos de queimadas, etc.



Introdução

Na análise de distribuição de pontos, em geral o que se deseja é determinar se os eventos observados exibem algum padrão sistemático sobre a região de estudo.



Exemplo:

A distribuição dos casos de uma doença formam um padrão no espaço?

Existe associação com alguma fonte de poluição?

Evidência de contágio?

Distribuições pontuais tem as seguintes características:

- as localizações não estão associadas a valores, mas apenas a ocorrência dos eventos.
- dimensão das medidas é zero.
- medidas válidas: o número de ocorrências e as localizações geográficas.
- a região que contém os eventos não é uma medida válida apesar de ocupar espaço.
- entidades geográficas representadas como pontos no mapa são considerados de mesma qualidade.

Características básicas da distribuição de pontos:

- Frequência
- Densidade
- Centro Geométrico
- Dispersão Espacial

Frequência: número de eventos que ocorrem no mapa.

Nota: a comparação de dois padrões de pontos pode ser enganosa, se ambos estão contidos em áreas distintas. Neste caso, é aconselhável compará-los pela densidade.

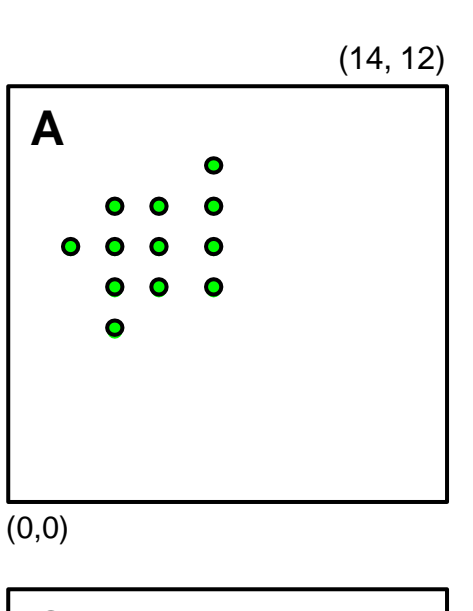
Densidade: Frequência / Área

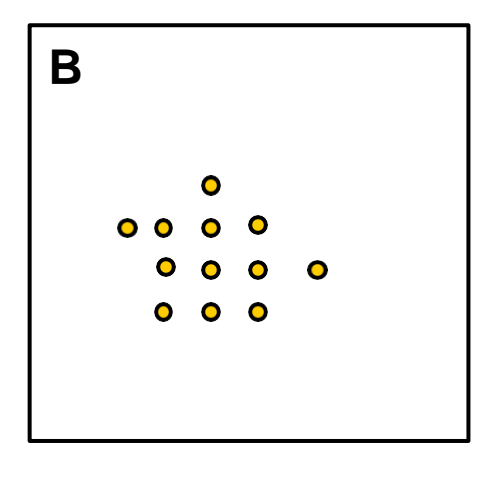
Centro Geométrico e Dispersão Espacial: são medidas que caracterizam as propriedades geográfica de um padrão de pontos.

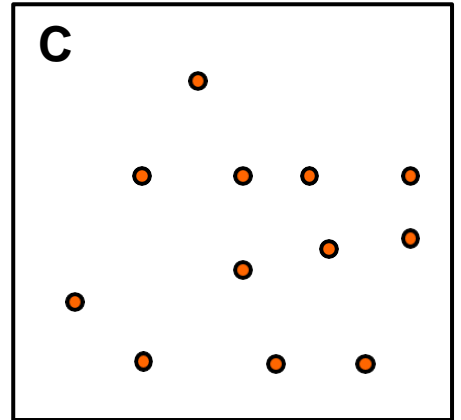
Centro Geométrico: média das coordenadas de localização X e Y.

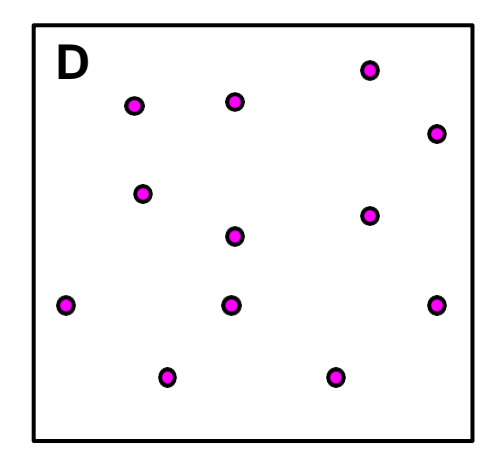
Dispersão: desvio padrão de cada média (X e Y).

Considere os padrões de pontos A, B, C e D.





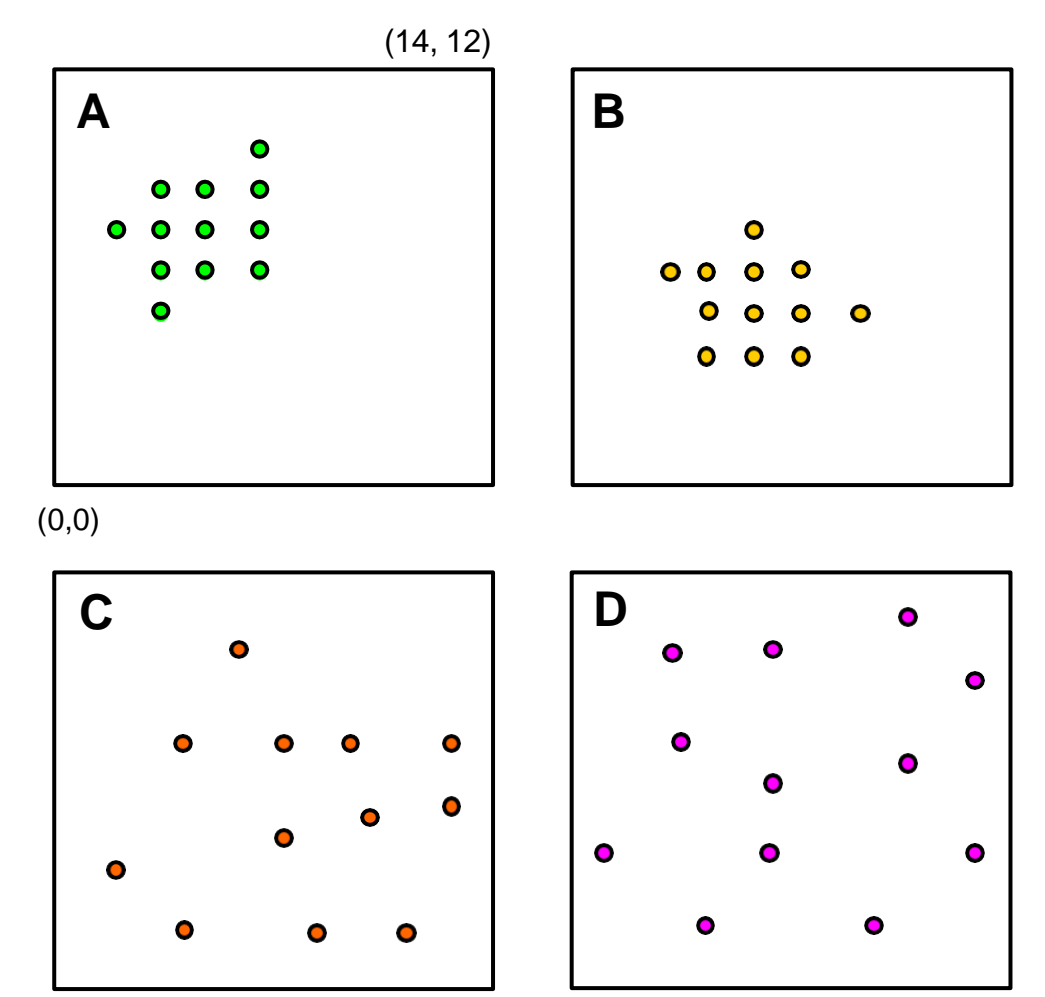




LOCALIZAÇÕES

Α	В	С	D
(2, 7)	(3, 6)	(2,4)	(3,4)
(3, 5)	(4, 4)	(3,10)	(5,2)
(3, 6)	(4, 5)	(4,7)	(5,8)
(3, 7)	(4, 6)	(5,2)	(7,11)
(3, 8)	(5, 4)	(7,4)	(8,5)
(4, 6)	(5, 5)	(7,6)	(8,8)
(4, 7)	(5, 6)	(7,9)	(9,2)
(4, 8)	(5, 7)	(10,2)	(10,8)
(5, 6)	(6, 4)	(11,6)	(12,2)
(5, 7)	(6, 5)	(11,10)	(13,4)
(5, 8)	(6, 6)	(13,4)	(13,6)
(5, 9)	(7, 5)	(13,8)	(13,8)

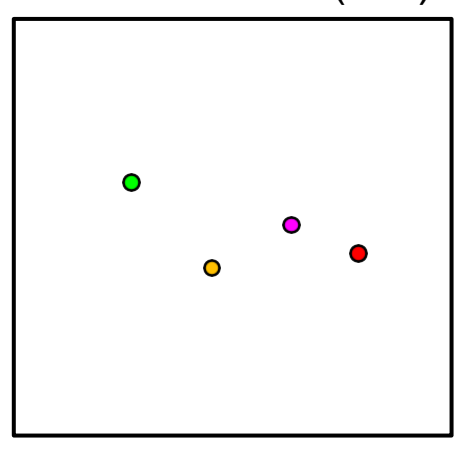
Padrões de pontos A, B, C e D.



Frequência = 12 em A, B, C e D

Densidade = 12/168 em **A**, **B**, **C** e **D**

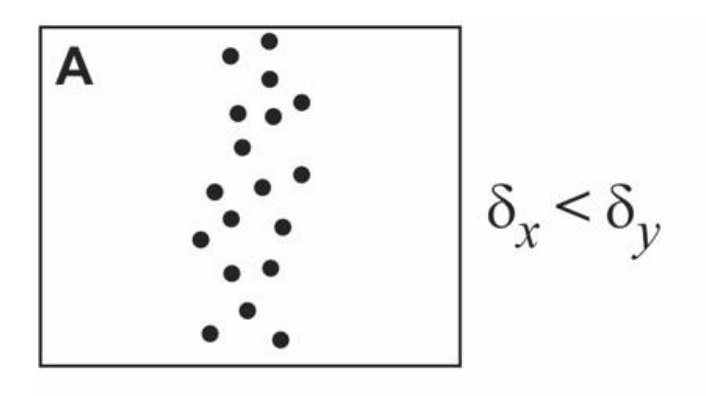
Centro Geométrico (CG)

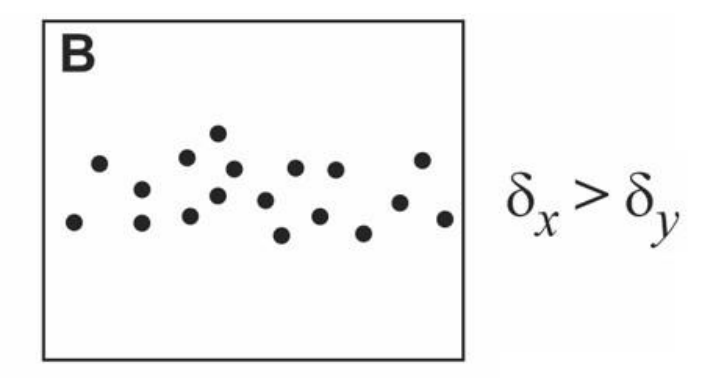


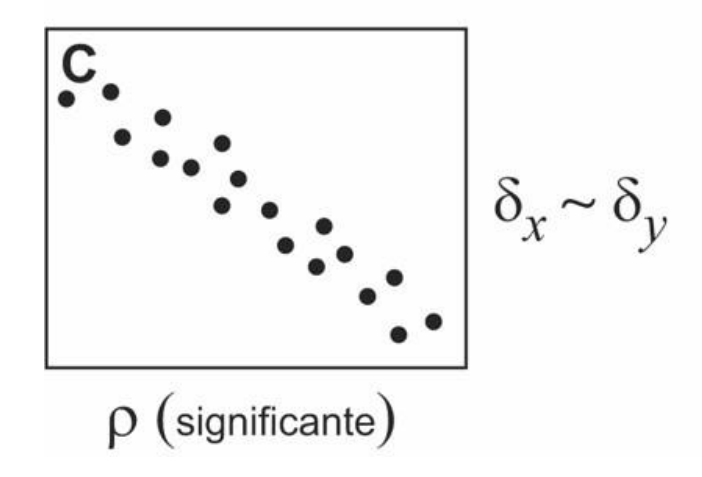
CGA e CGB representam bem a tendência central, porque ambas distribuições estão concentradas em torno dos respectivos centros geométricos.

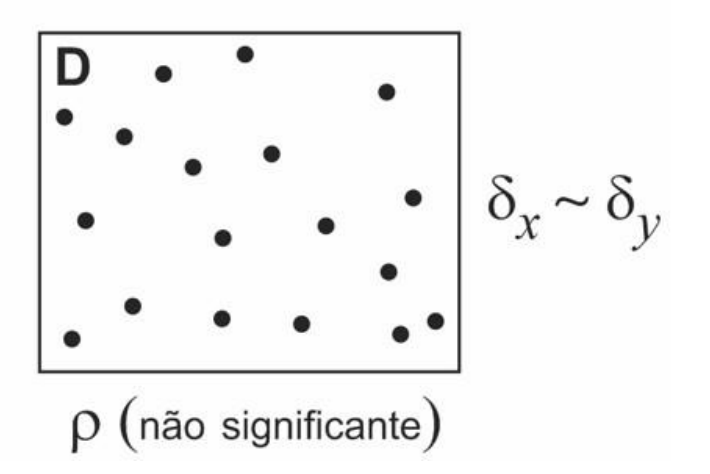
CGC e CGD não são bons indicadores para suas respectivas distribuições.

Dispersão espacial







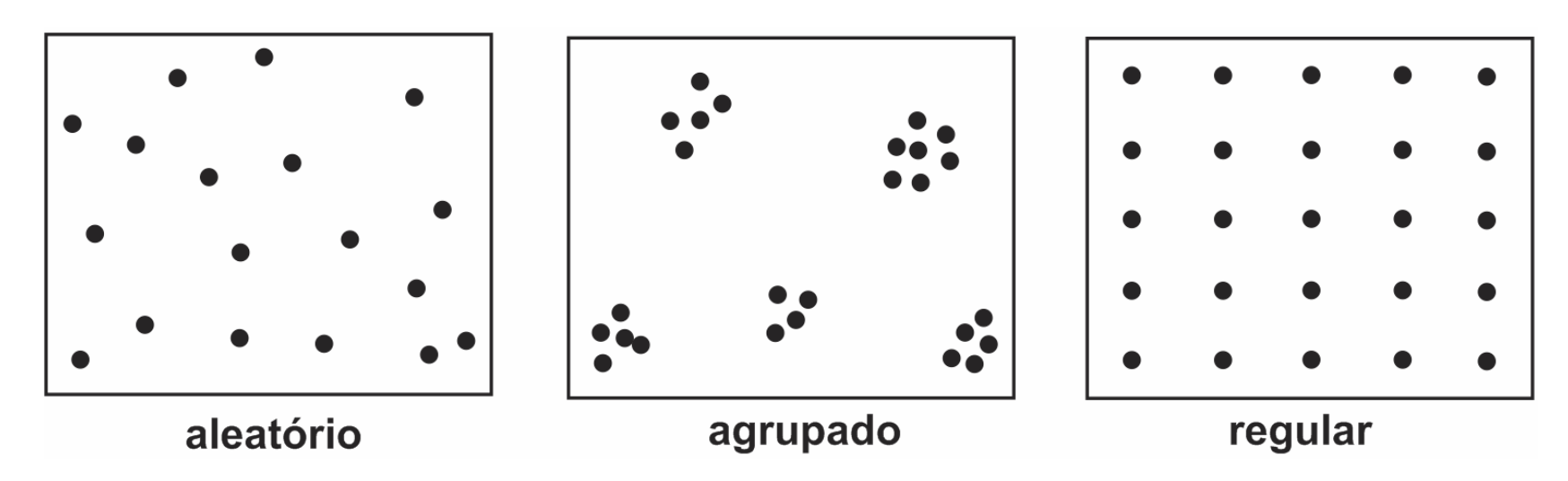


Arranjos Espaciais

Uma característica importante de um padrão espacial de pontos é a localização dos eventos e a relação entre eles (arranjos espaciais).

Objetivo:

verificar se os eventos observados apresentam algum tipo de padrão sistemático, ao invés de estarem distribuídos aleatoriamente.



Na prática o que se deseja é detectar padrões de aglomerados espaciais.

Arranjos Espaciais

Processos de análise de pontos podem ser descritos em termos de:

Efeitos de Primeira Ordem

- considerados globais ou de grande escala.
- correspondem a variações no valor médio do processo.
- neste caso estamos interessados na intensidade do processo (nº eventos / unidade de área).

Efeitos de Segunda Ordem

- denominados locais ou de pequena escala.
- representam a dependência espacial no processo.

Limitação: a maior parte das técnicas de análise de distribuição de pontos supõe **comportamento isotrópico** do fenômeno investigado.

Técnicas a serem abordadas

Efeitos de Primeira Ordem

Estimador de Kernel

Efeitos de Segunda Ordem

Função do Vizinho mais Próximo

Visa obter uma estimativa suavizada de uma densidade de probabilidade a partir de uma amostra de dados observados.

Baseia-se na contagem de eventos dentro de um dado raio *r* para estimar a densidade de eventos associada a cada ponto de uma região de estudo.

Essa contagem é ponderada pela distância de cada evento ao ponto de referência através de uma função de suavização chamada função de Kernel.

Segundo (Bailey & Gatrell, 1995):

$$\hat{\lambda}_{\tau}(s) = \sum_{i=1}^{n} \frac{1}{\tau^{2}} I\left(\frac{\left(s - s_{i}\right)}{\tau}\right)$$

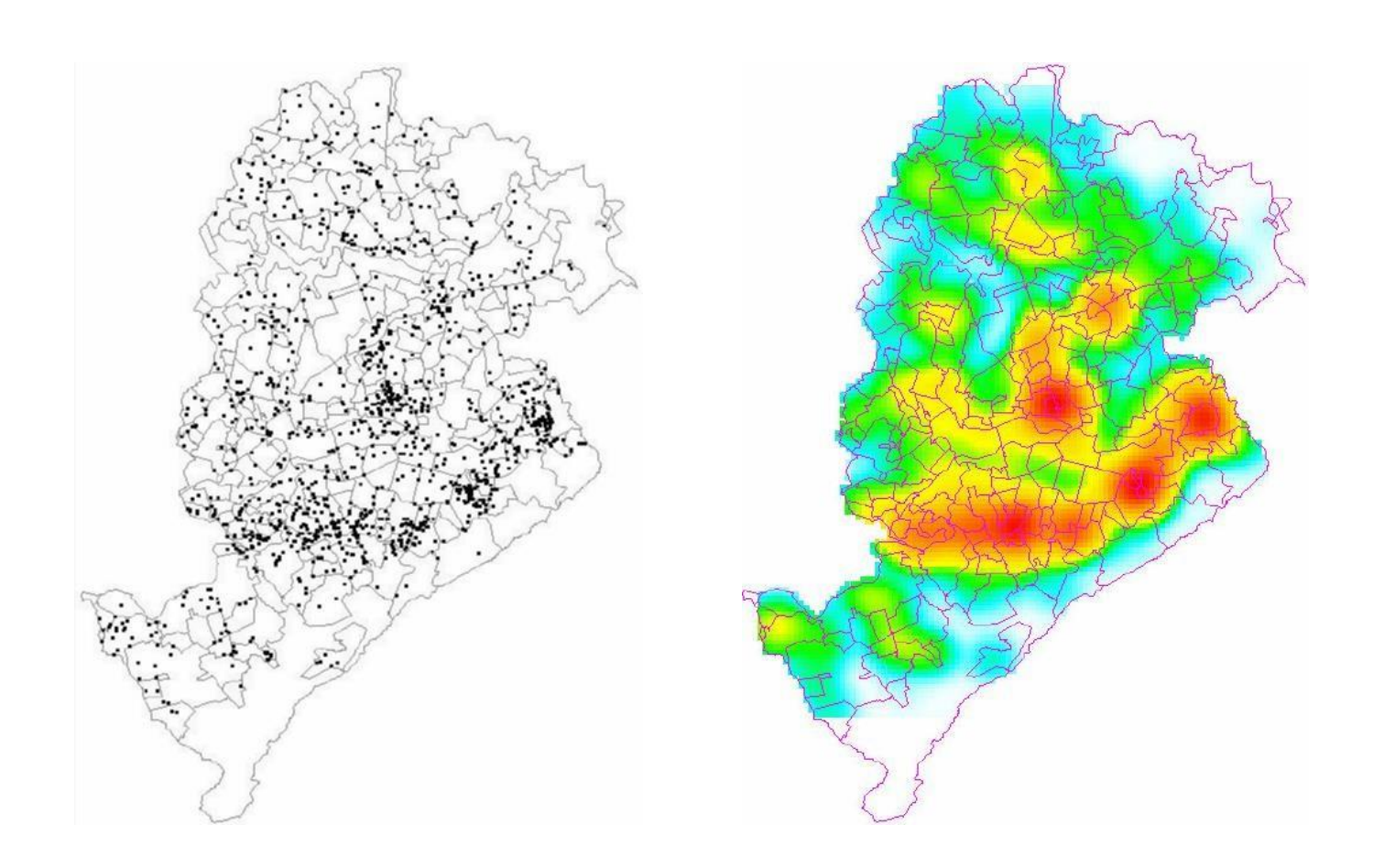
em que:

- I : é uma função escolhida de forma adequada para construir uma superfície contínua sobre os eventos.
- τ : é denominado largura de faixa (ou largura de banda). Controla o amaciamento da superfície gerada.
- S: representa uma localização qualquer na área de estudo a ser estimada e S_i são as localizações dos eventos observados.

n: representa o número de eventos dentro da largura de faixa (τ).

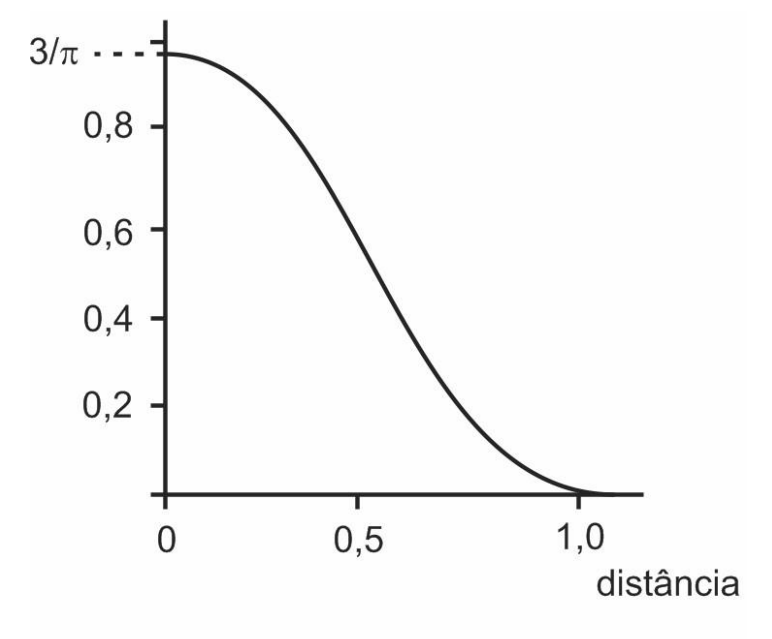
Exemplo:

Roubo a taxi em Belo Horizonte de 1995 a 2001 (Fonte: PMMG)

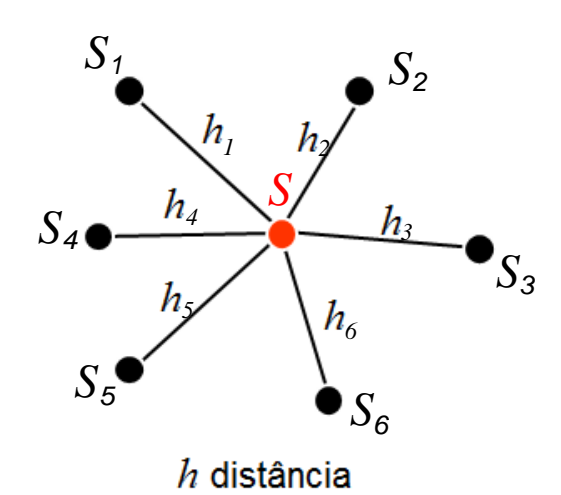


No estimador de Kernel
$$\hat{\lambda}_{\tau}(s) = \sum_{i=1}^{n} \frac{1}{\tau^2} I\left(\frac{(s-s_i)}{\tau}\right)$$

uma função muito utilizada para Ié: $I(h) = \frac{3}{\pi} (1 - h^2)^2$



Kernel Quártico



- eventos observados
- localização a ser estimada

Substituindo
$$I(h) = \frac{3}{\pi} (1 - h^2)^2$$
 na equação do estimador

de Kernel
$$\hat{\lambda}_{\tau}(s) = \sum_{i=1}^{n} \frac{1}{\tau^2} I\left(\frac{\left(s - s_i\right)}{\tau}\right)$$
, tem-se:

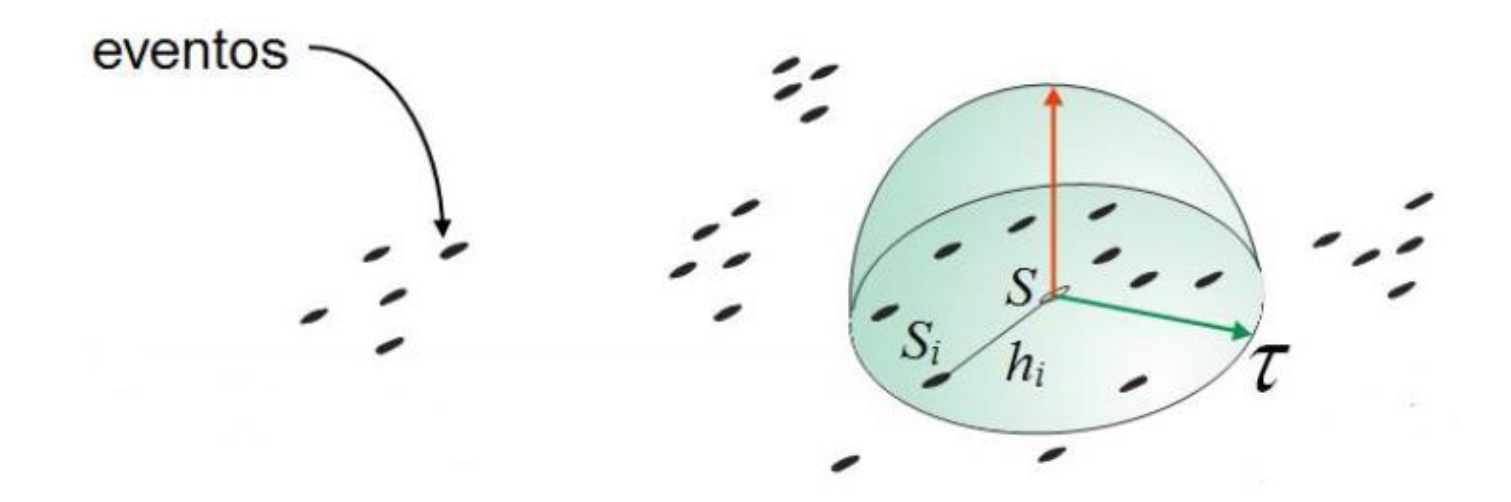
o estimador do Kernel Quártico:
$$\hat{\lambda}_{\tau}(s) = \sum_{i=1}^{n} \frac{3}{\pi \tau^{2}} \left(1 - \frac{h_{i}^{2}}{\tau^{2}} \right)^{2}$$

em que:

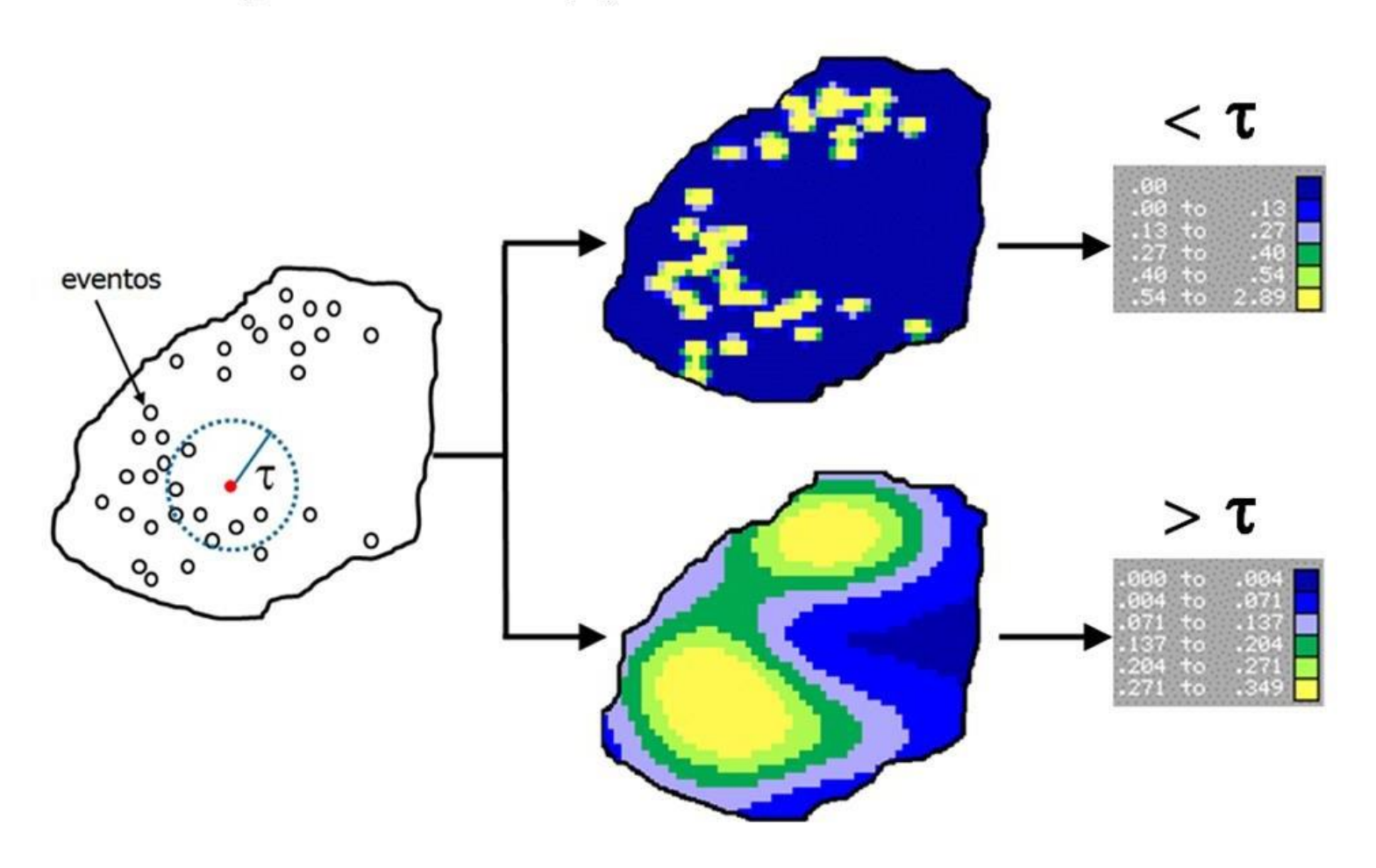
 h_i : é a distância entre o ponto a calcular S e o valor observado S_i .

Idéia do estimador de Kernel

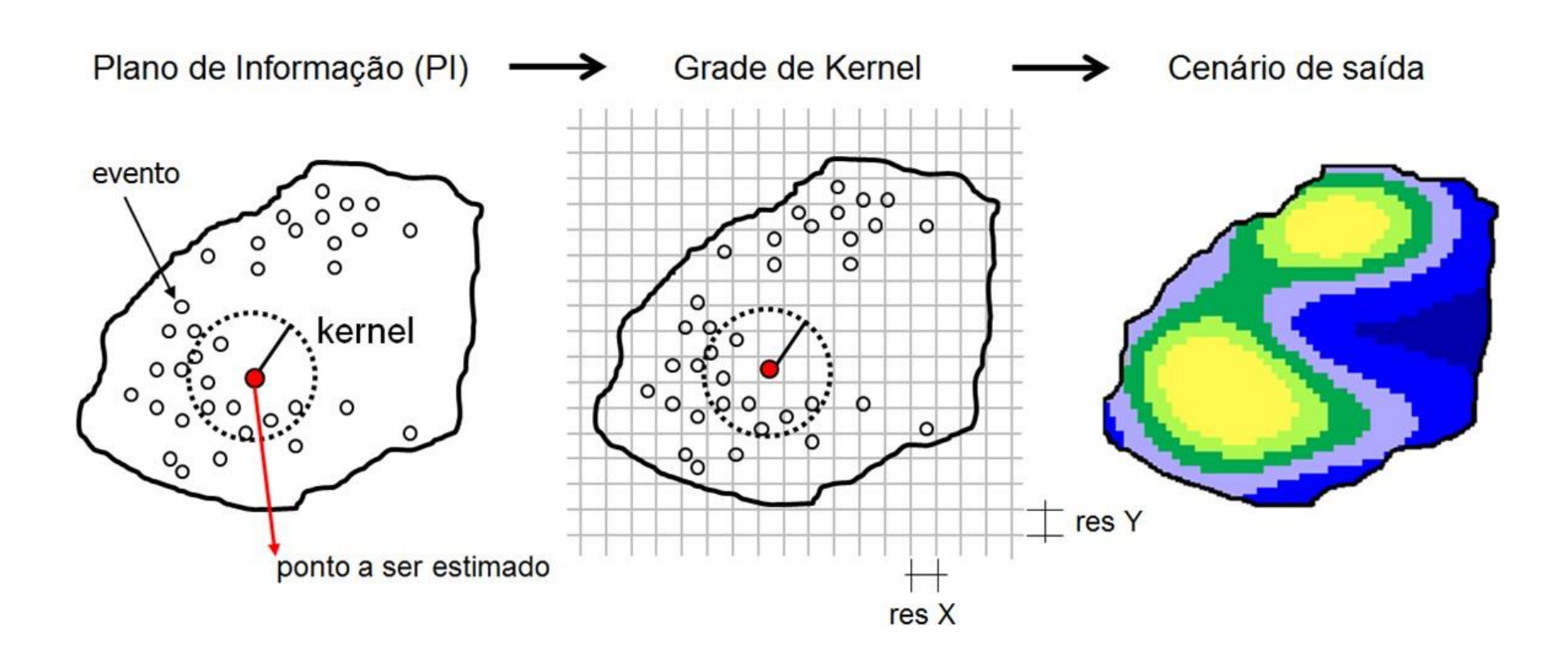
$$\hat{\lambda}_{\tau}(s) = \sum_{i=1}^{n} \frac{3}{\pi \tau^{2}} \left(1 - \frac{h_{i}^{2}}{\tau^{2}} \right)^{2}$$



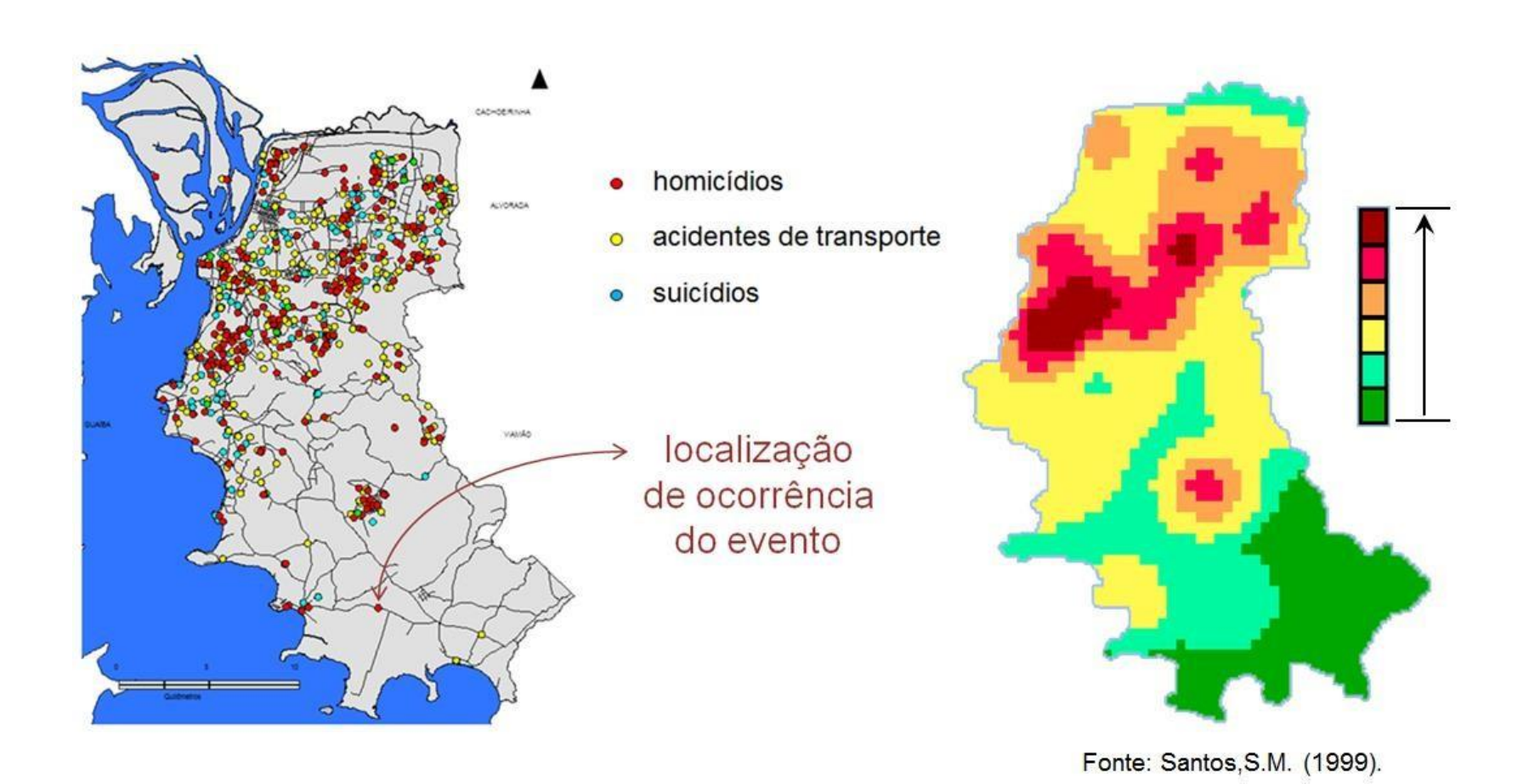
Efeitos da Largura de Faixa (τ)



Na prática (SIG)



Exemplo: mapeamento da violência em Porto Alegre - RS



14/08/2024

23

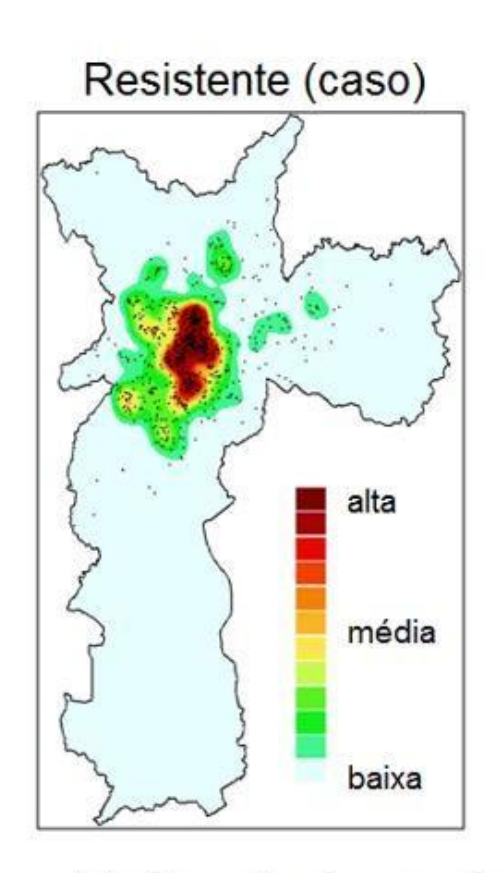
Kernel com valor de atributo agregado:

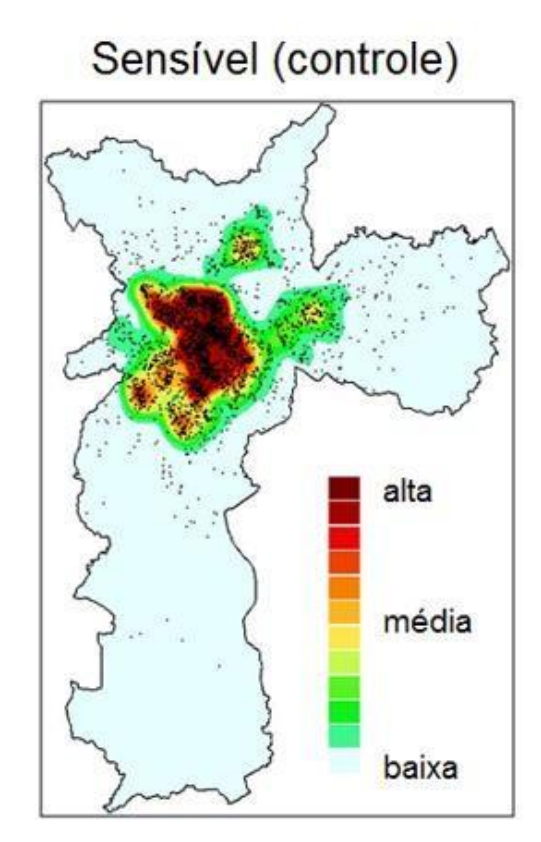
$$\hat{\lambda}_{\tau}(s) = \sum_{i=1}^{n} \frac{3}{\pi \tau^{2}} \left(1 - \frac{h_{i}^{2}}{\tau^{2}} \right)^{2} \cdot y_{i}$$

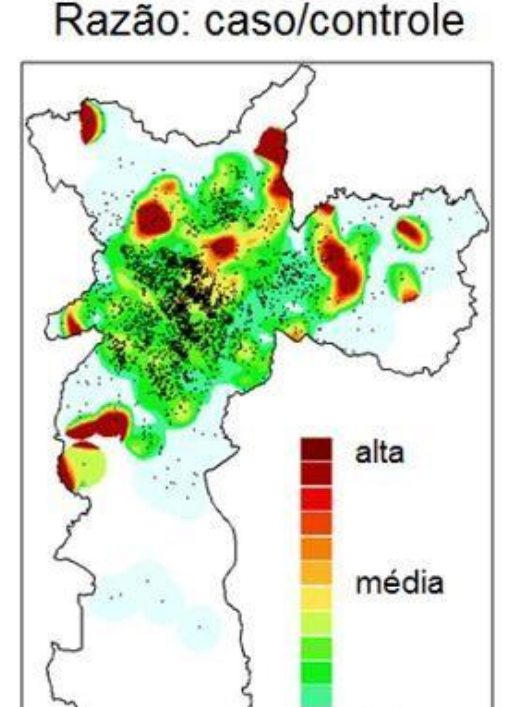
$$y_{i}$$

Disparidade social: distribuição do percentual de idosos no centro de São Paulo.

Kernel de razão:
$$\hat{\lambda}_{\tau}(s) = \sum_{i=1}^{n} \frac{3}{\pi \tau^{2}} \left(1 - \frac{h_{i}^{2}}{\tau^{2}} \right)^{2} / \sum_{i=1}^{n} \frac{3}{\pi \tau^{2}} \left(1 - \frac{h_{i}^{2}}{\tau^{2}} \right)^{2}$$





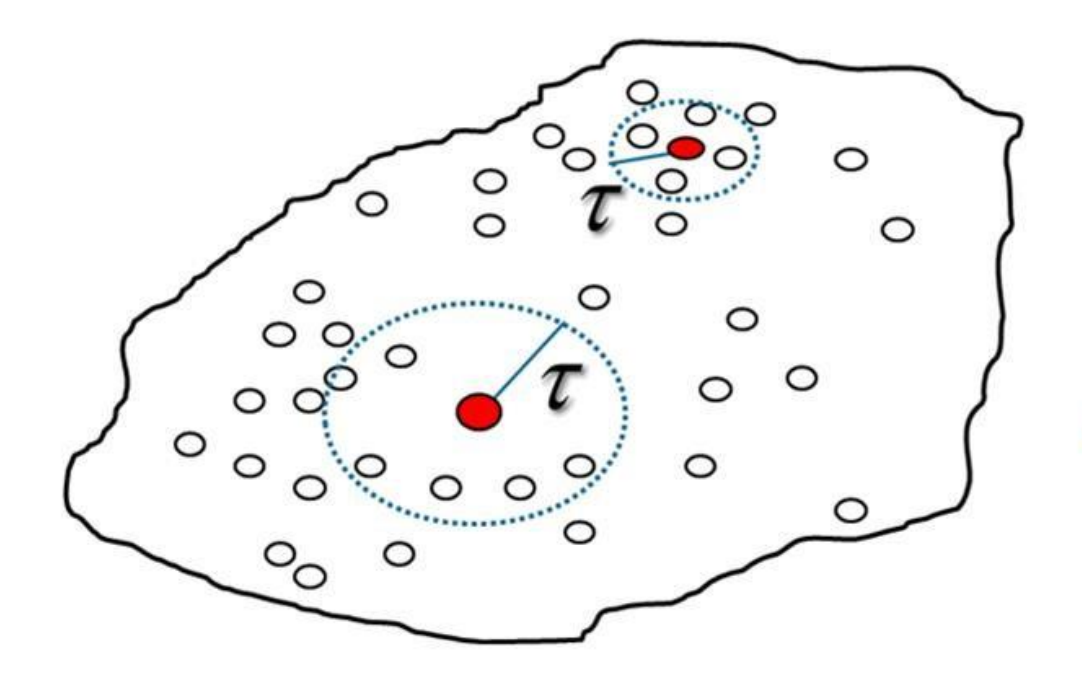


baixa

Exploração da correlação espacial sobre o uso de antimicrobianos (ciprofloxacin) e a resistência de infeções de trato urinário na comunidade causado por Escherichia coli.

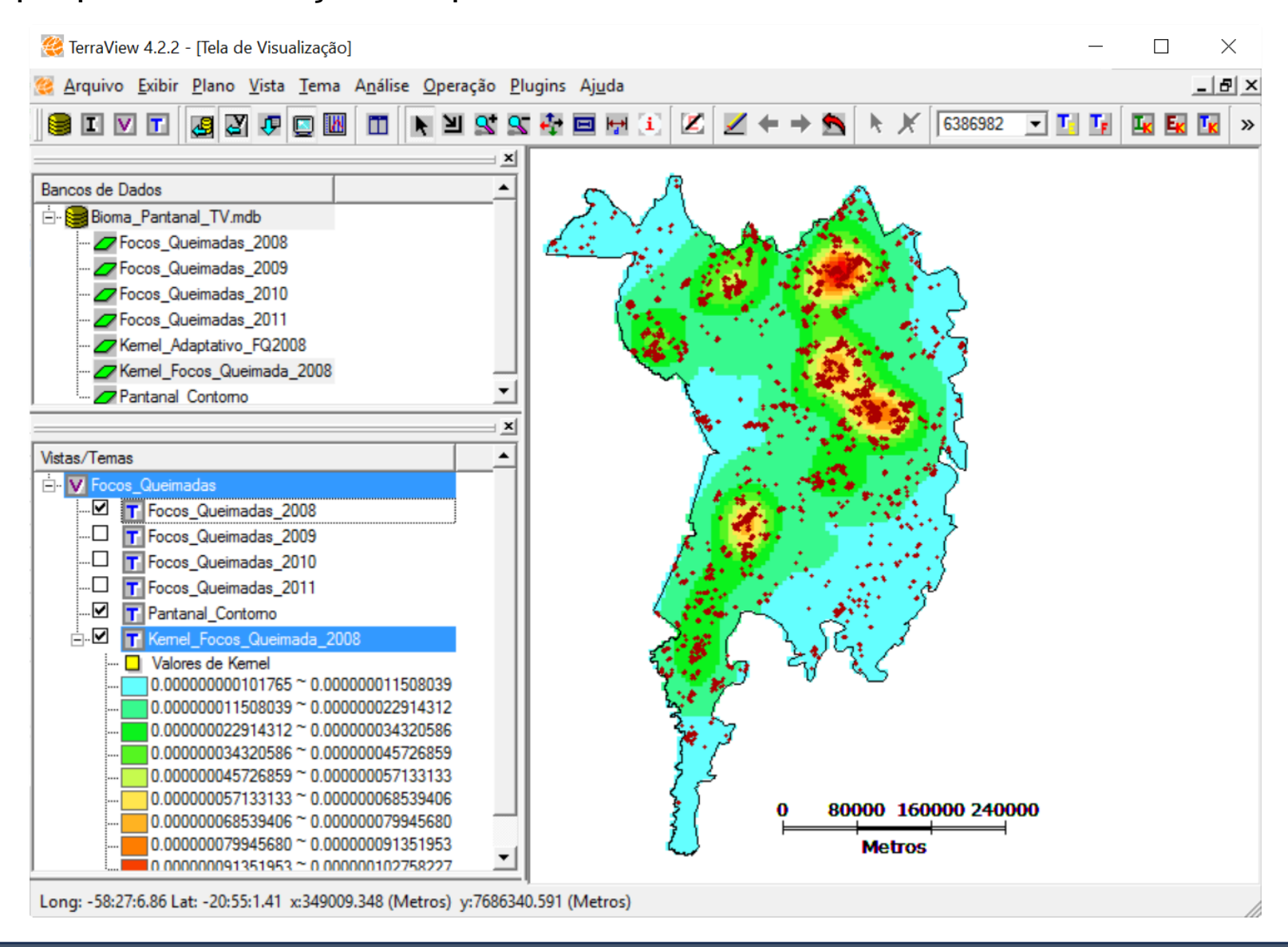
14/08/2024 25

Kernel adaptativo:
$$\hat{\lambda}_{\tau}(s) = \sum_{i=1}^{n} \frac{3}{\pi \tau^{2}} \left(1 - \frac{h_{i}^{2}}{\tau^{2}} \right)^{2}$$



- Eventos observados
- Ponto a ser estimado

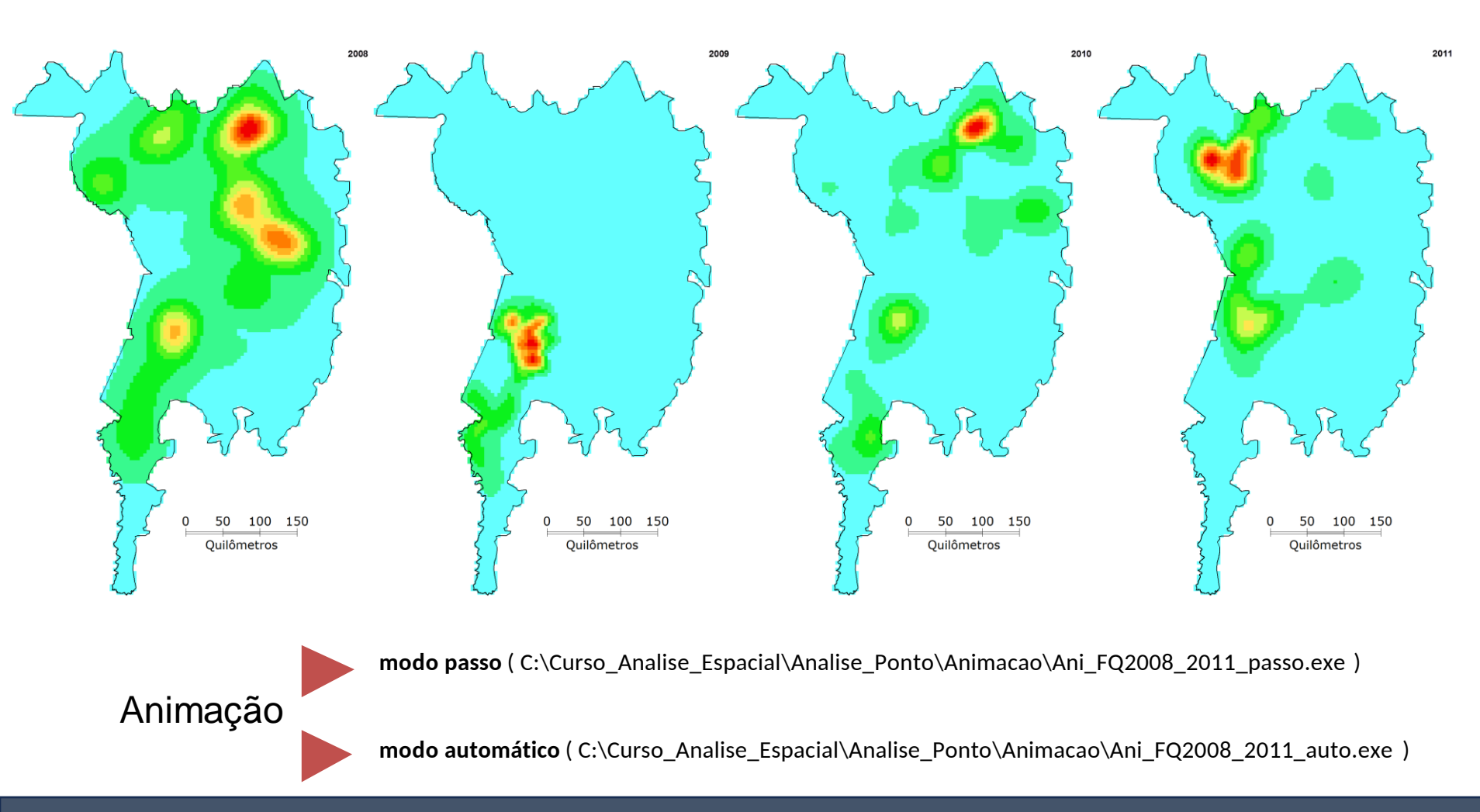
Exemplo prático: Evolução Temporal de Focos de Queimadas no Bioma Pantanal



14/08/2024 27

Estimador de Kernel

Resultados da Evolução Temporal de Focos de Queimadas no Bioma Pantanal, de 2008 a 2011.



Executar o Roteiro Prático

AULA 1 - Análise de Distribuição de Pontos, até a página 17.

Método do vizinho mais próximo

O método do vizinho mais próximo estima uma função de distribuição cumulativa baseado nas distâncias entre eventos em uma região de estudo.

É estimado empiricamente por:

$$\hat{G}(w) = \frac{\#(w_i \le w)}{n}$$

em que:

w: distância de entrada

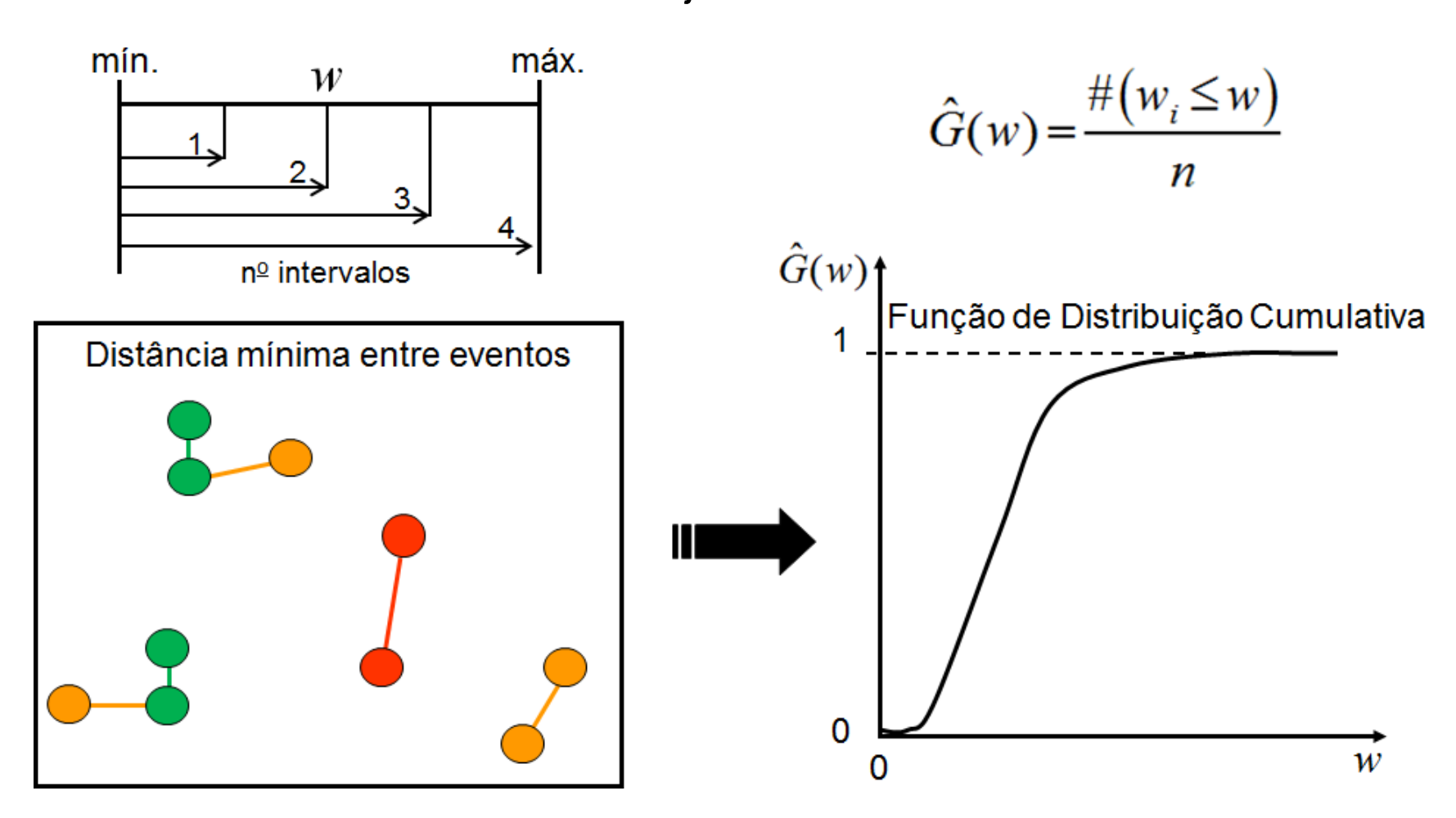
 w_i : distância entre eventos

n: número de eventos

A plotagem dos resultados de $\hat{G}(w)$ em relação as distâncias, pode ser utilizado como um método exploratório para verificar se existe evidência de interação entre os eventos.

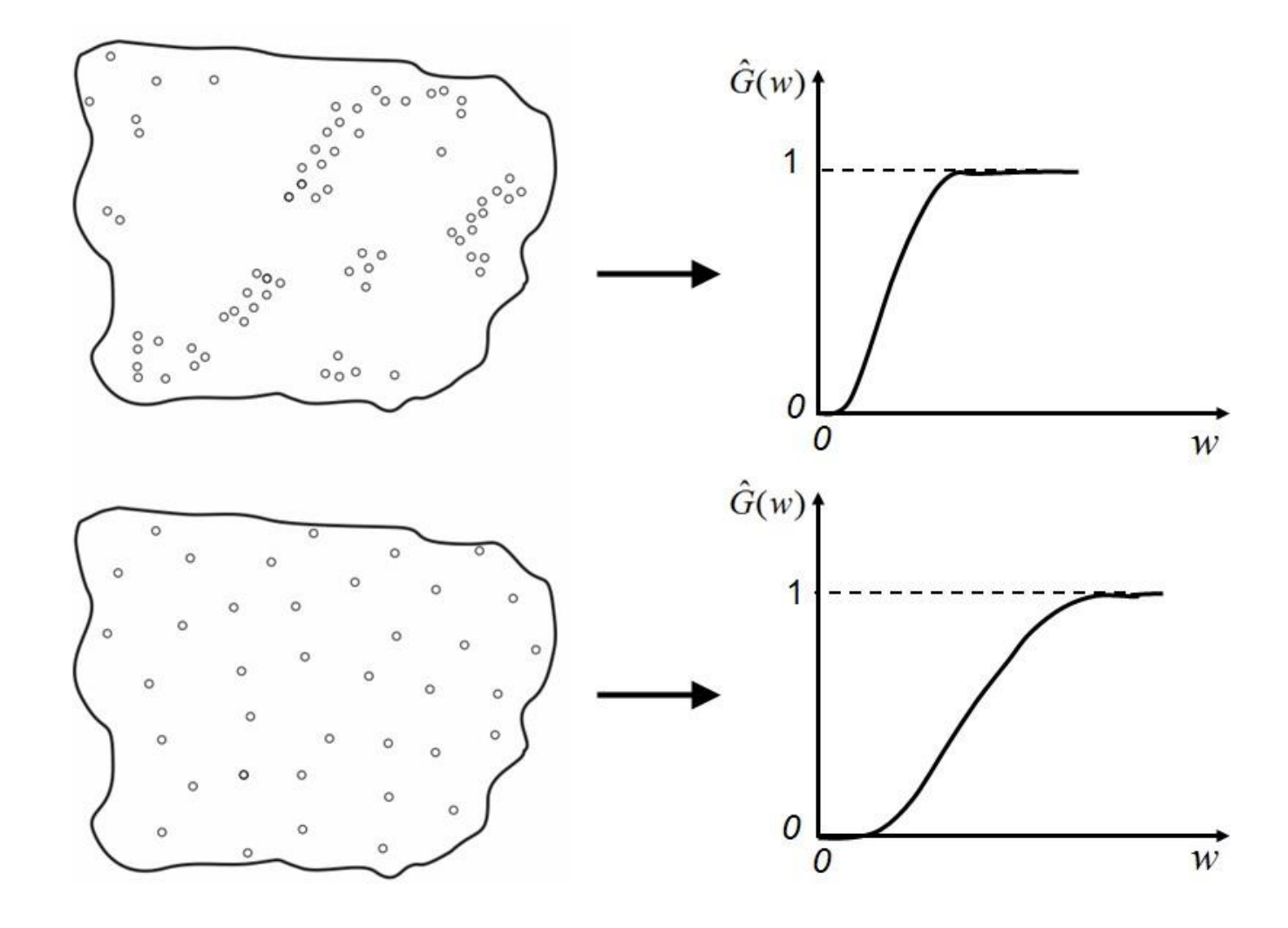
Método do vizinho mais próximo

Na prática a distância de entrada w está compreendida entre um valor mínimo e máximo estabelecido pelo analista. Além disso, deve-se definir também o número de intervalos desejados.



14/08/2024 31

Análise exploratória de padrões de distribuição de pontos utilizando $\hat{G}(w)$



A significância do resultado de $\hat{G}(w)$ pode ser avaliada através de um modelo teórico denominado *Aleatoriedade Espacial Completa - AEC* (Bailey & Gatrell, 1995).

Na prática isto é realizado da seguinte forma:

Primeiro: realiza-se m simulações independentes dos n eventos assumindo-se AEC:

$$\hat{G}_{S_i}(w), i = 1,...,m$$

Segundo: calcula-se a média das m simulações: $\overline{G}_{S}(w) = \frac{\sum_{i=1}^{m} \hat{G}_{S_{i}}(w)}{m}$

Terceiro: calcula-se os envelopes de simulação

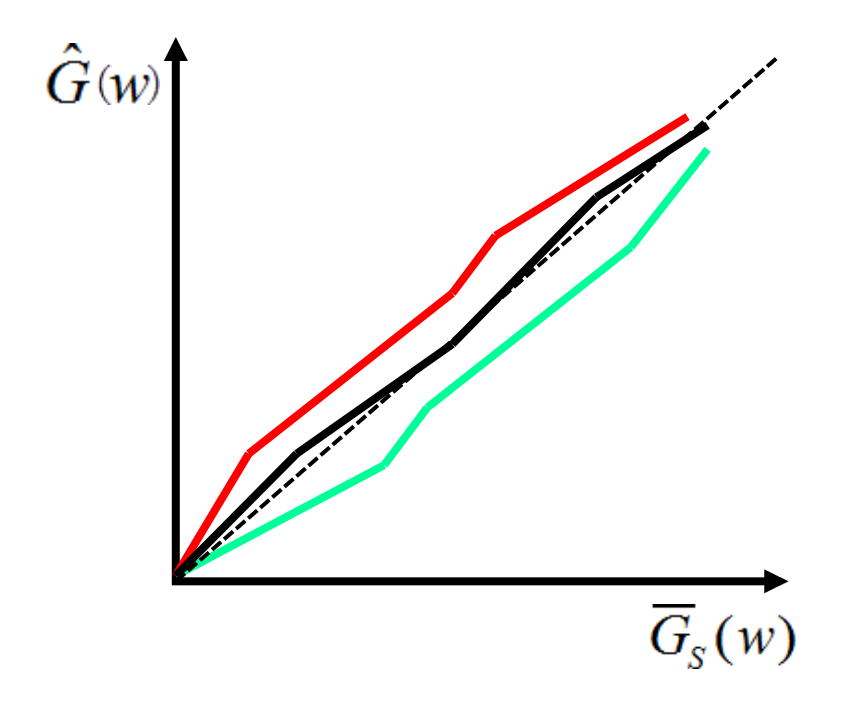
$$U(w) = \max \left\{ \hat{G}_{S_i}(w) \right\}, i = 1, ..., m \qquad \text{envelope superior}$$

$$L(w) = \min \left\{ \hat{G}_{S_i}(w) \right\}, i = 1, ..., m \qquad \text{envelope inferior}$$

$$\hat{G}(w) \uparrow \qquad \qquad U(w) \\ \hline G_{S}(w) \\ \hline L(w) \\ m \text{ simulações}$$

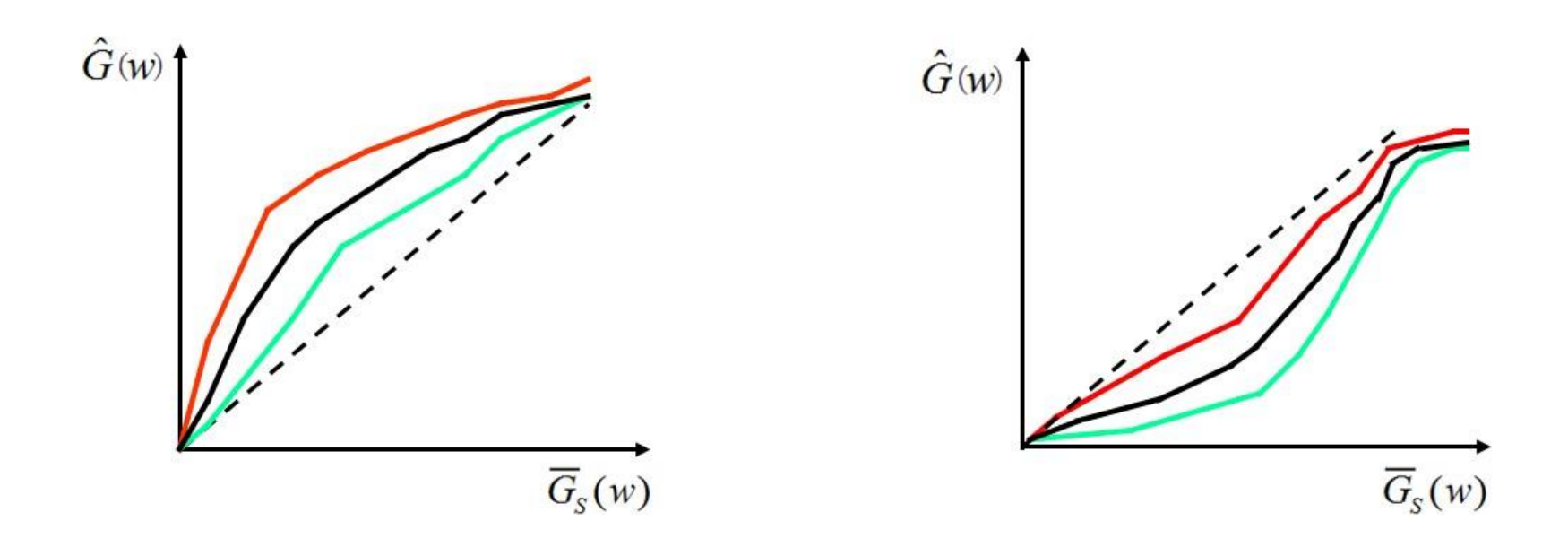
14/08/2024 34

Quarto: plota-se $\hat{G}_{(W)} \times \overline{G}_{S}(W)$ com adição dos envelopes. Isto permite avaliar a significância do resultado de $\hat{G}_{(W)}$ relativo a hipótese de AEC.



Se a condição de AEC for válida a plotagem $\hat{G}(w) \times \overline{G}_{S}(w)$ deve ser praticamente linear com um ângulo de 45°.

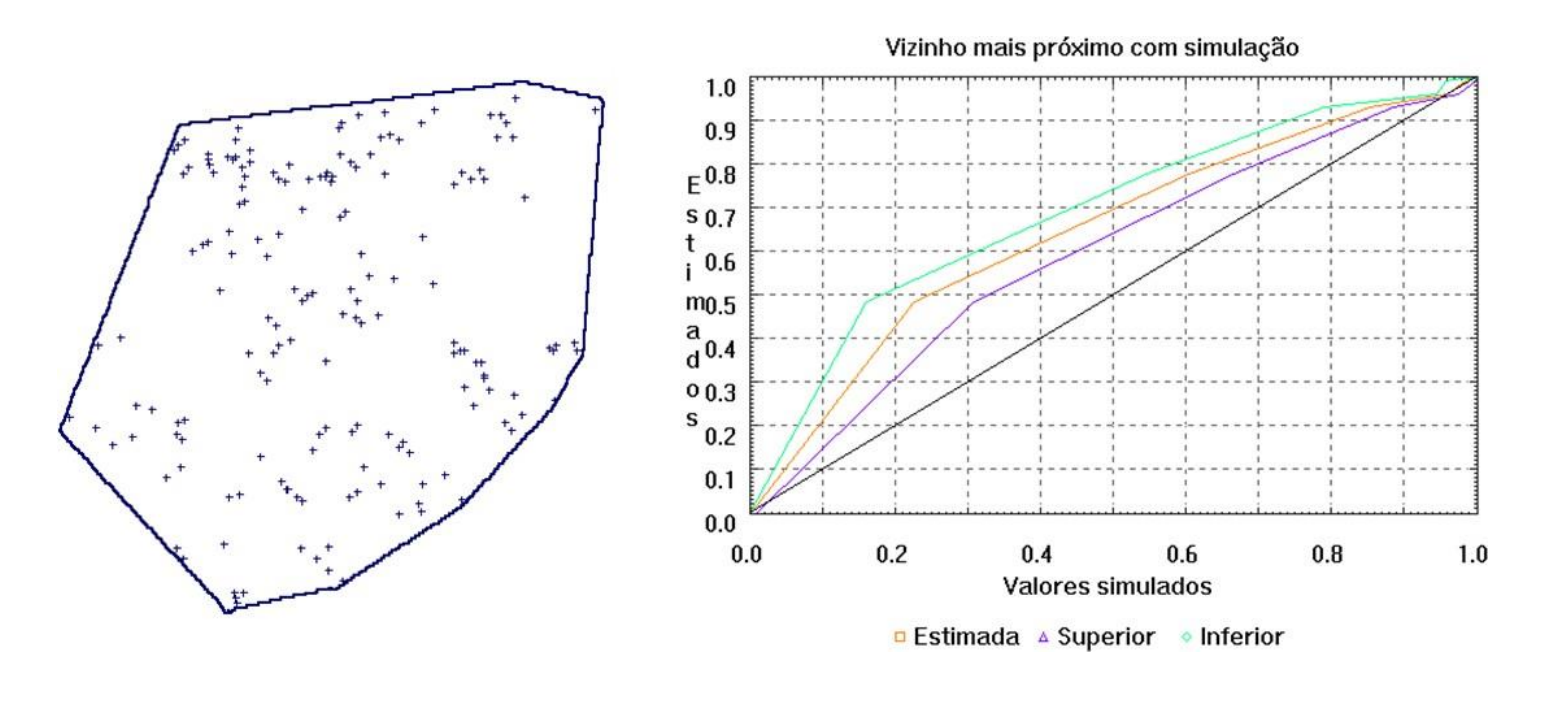
Se o dado apresenta tendências para agrupamento os traçados no gráfico estarão acima da linha de 45°.



Por outro lado, se o dado apresenta padrões de regularidade ostraçados ficarão abaixo da linha de 45°.

Método do vizinho mais próximo com simulação

Exemplo: Crimes juvenis na região de Cardiff, UK (Herbert, 1980).



Distâncias: mín.=0.2 máx.=16 #intervalos=10 #simulações=10

Observe que a posição dos envelopes e da estimativa estão acima da linha de 45°, o que indica evidências de agrupamento para as distâncias em análise.

Continuar o Roteiro Prático

AULA 1 - Análise de Distribuição de Pontos, da pág. 18 a 26.

A função K considera escalas maiores para análise de padrões pontuais.

Conforme Bailey & Gatrell (1995):

 $\lambda K(h) = E$ [#(eventos a distância h de um evento arbitrário)]

em que:

 λ : número de eventos por área

E : operador esperança.

Estimador da função k

1) $\lambda K(h) = E$ [#(eventos a distância h de um evento arbitrário)]

2)
$$\lambda \hat{K}(h) = \frac{1}{\lambda R} \sum_{i=1}^{n} \sum_{j=1}^{n} I_h(d_{ij})$$
 em que: d_{ij} é a distância entre os eventos $i \in j$.
$$I_h(d_{ij}) = 1 \text{ se } d_{ij} <= h, \text{ caso contrário} = 0 \text{ se } d_{ij} > h.$$

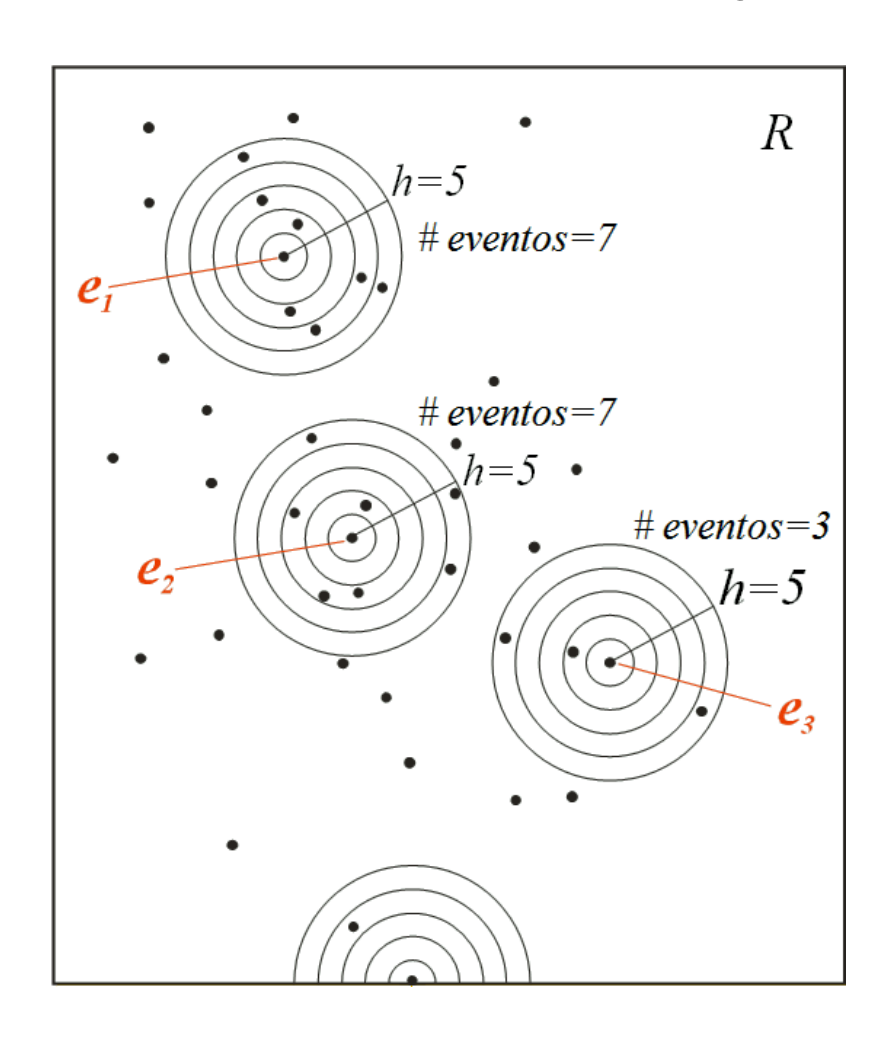
$$\lambda R = n = \text{número de eventos em } R.$$

3)
$$\hat{K}(h) = \frac{1}{\lambda^2 R} \sum_{i=1}^n \sum_{j=1}^n I_h(d_{ij})$$

4) O estimador de lambda $\hat{\lambda} = \frac{n}{R}$

$$\hat{K}(h) = \frac{R}{n^2} \sum_{i=1}^{n} \sum_{j=1}^{n} I_h(d_{ij})$$

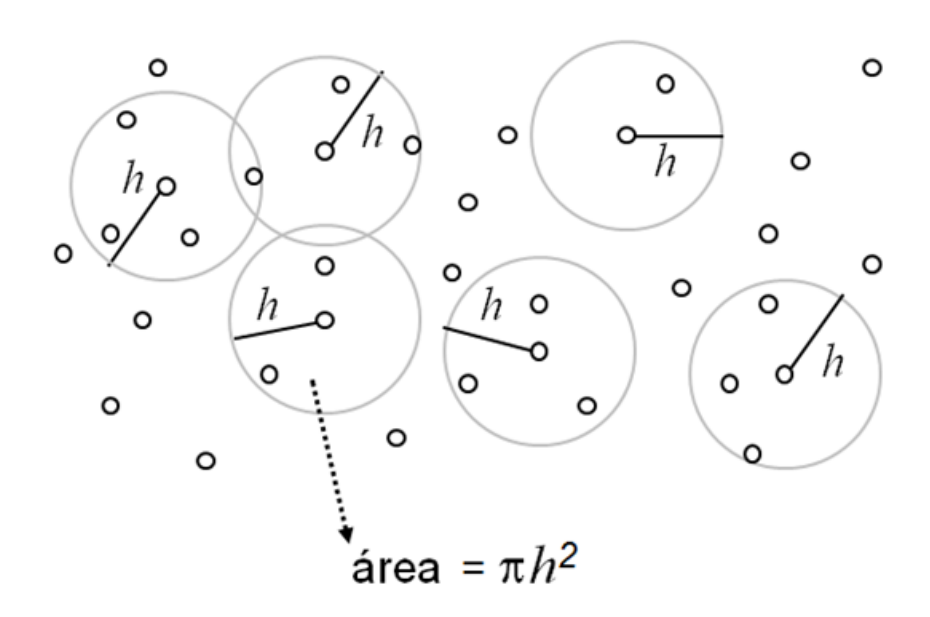
Idéia do estimador da função K



$$\hat{K}(h) = \frac{R}{n^2} \sum_{i=1}^{n} \sum_{j=1}^{n} I_h(d_{ij})$$

Segundo Bailey & Gatrell (1995), para um processo aleatório o número esperado de eventos a uma distância *h* de um evento escolhido de forma arbitrária é:

$$\lambda k(h) = \lambda \pi h^2$$



Processo	$\hat{K}(h)$
aleatório	$=\pi h^2$
regular	$<\pi h^2$
agregação espacial	$> \pi h^2$

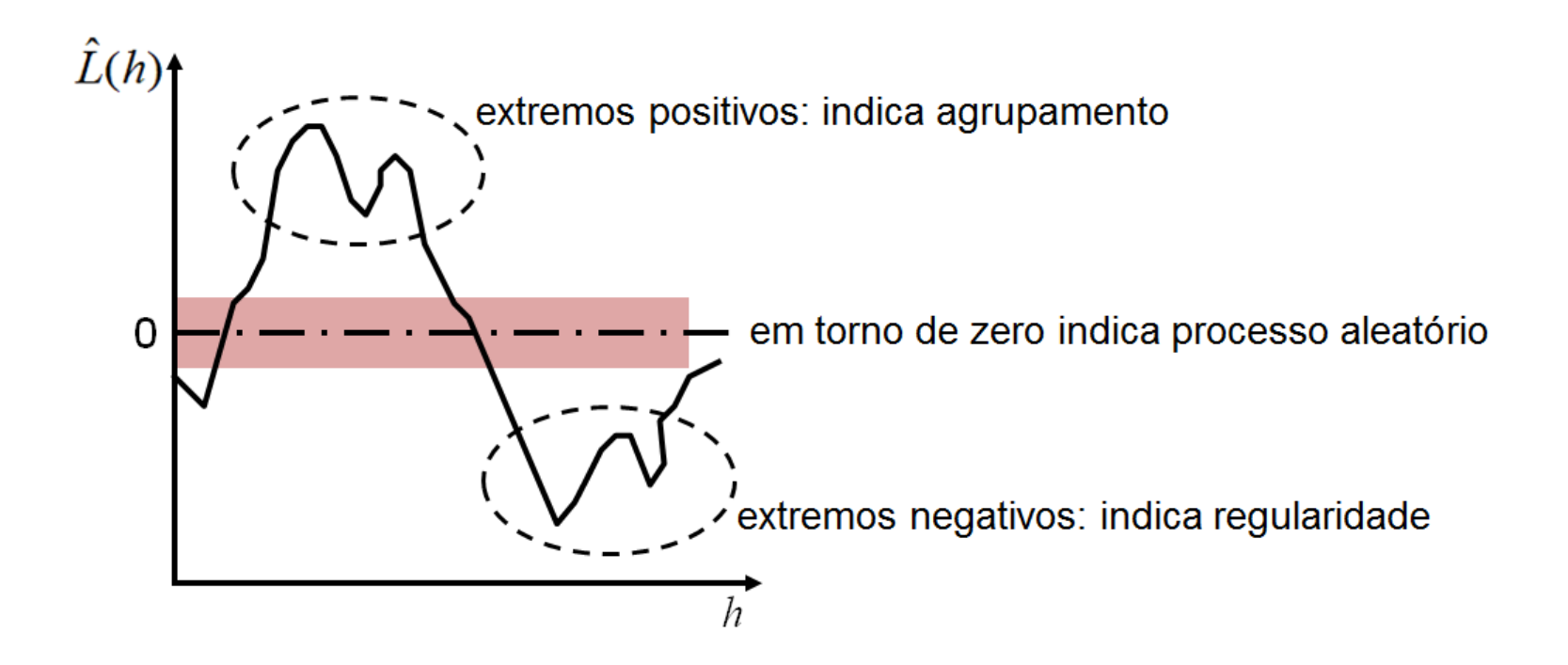
O gráfico da função K não é tão intuitivo quanto a do gráfico do vizinho mais próximo.

Artifício: emprega a função auxiliar L para facilitar a interpretação.

Estimador da função
$$L$$
 é dado por: $\hat{L}(h) = \sqrt{\frac{\hat{K}(h)}{\pi}} - h$

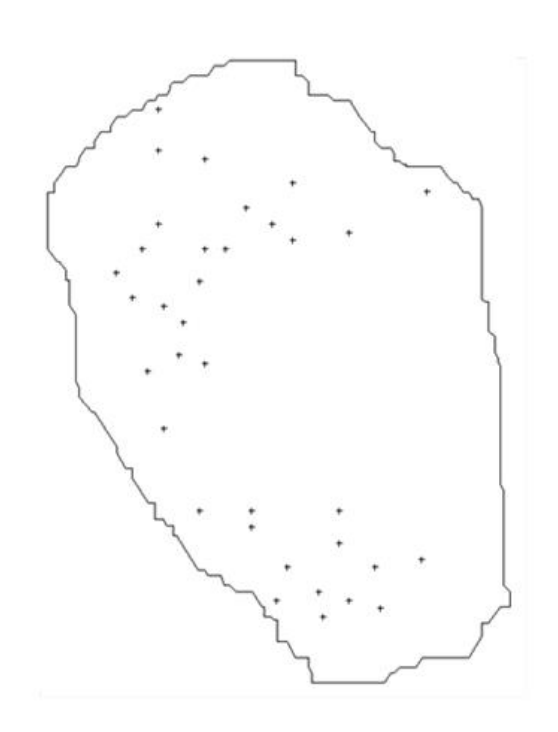
Processo	$\hat{L}(h)$	$\hat{K}(h)$
aleatório	= 0	$=\pi h^2$
regular	< 0	$<\pi h^2$
agregação espacial	> 0	$> \pi h^2$

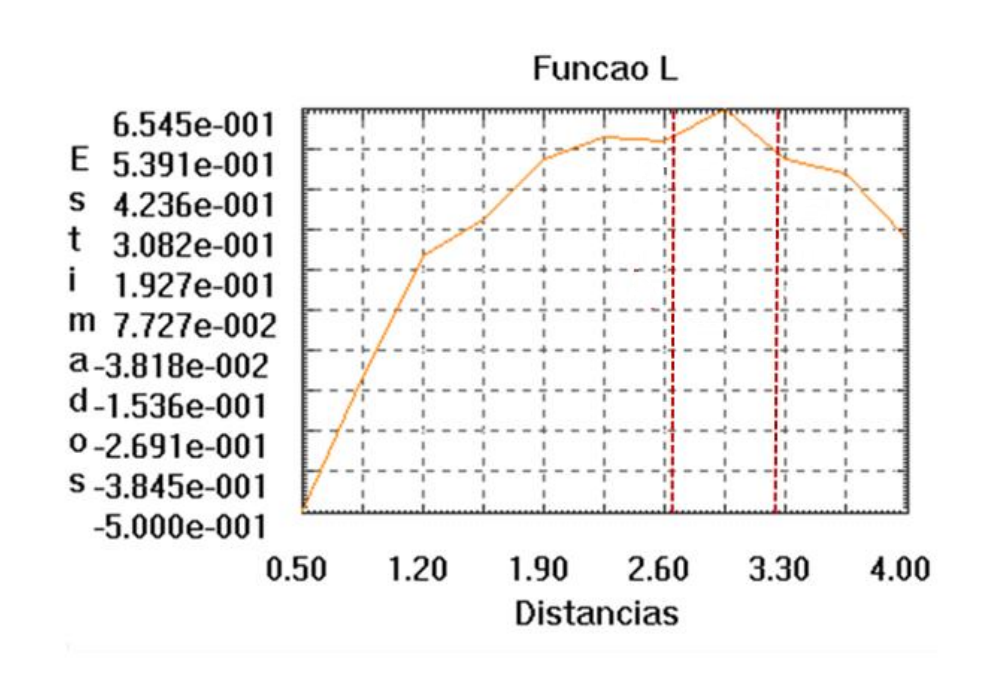
Interpretação da plotagem de
$$\hat{L}(h) = \sqrt{\frac{\hat{K}(h)}{\pi}} - h$$



Exemplo:

Dados geomorfológicos com 36 localizações de rochas de granito, no município Bood Moor, situado no condado de Cornwall, Inglaterra.





Distância: mín.=0.5 máx.=4 #intervalos=10

Neste exemplo percebe-se que para distâncias entre aproximadamente 2.5 a 3, extremo positivo do gráfico, há evidências de agrupamento.

Uma abordagem similar a do vizinho mais próximo pode ser feita para se estimar a significância dos desvios da distribuição $\hat{L}(h)$ em relação a *AEC*.

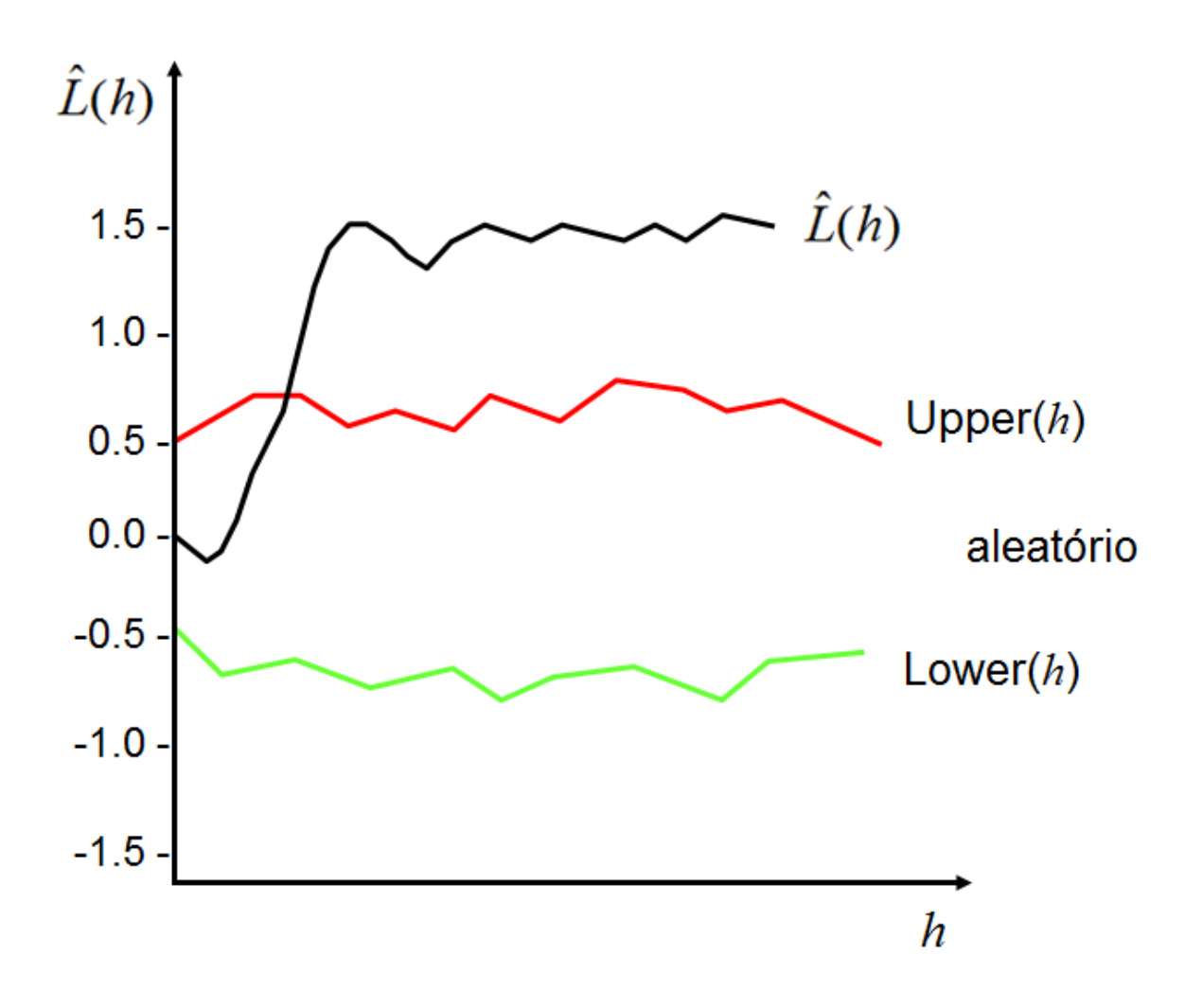
A idéia é realizar m simulações sobre a região R e computar os envelopes superior e inferior.

Os envelopes superior e inferior são definidos como (Baley & Gratel, 1995):

$$Upper(h) = max \left\{ \hat{L}_i(h) \right\}, i = 1, ..., m$$

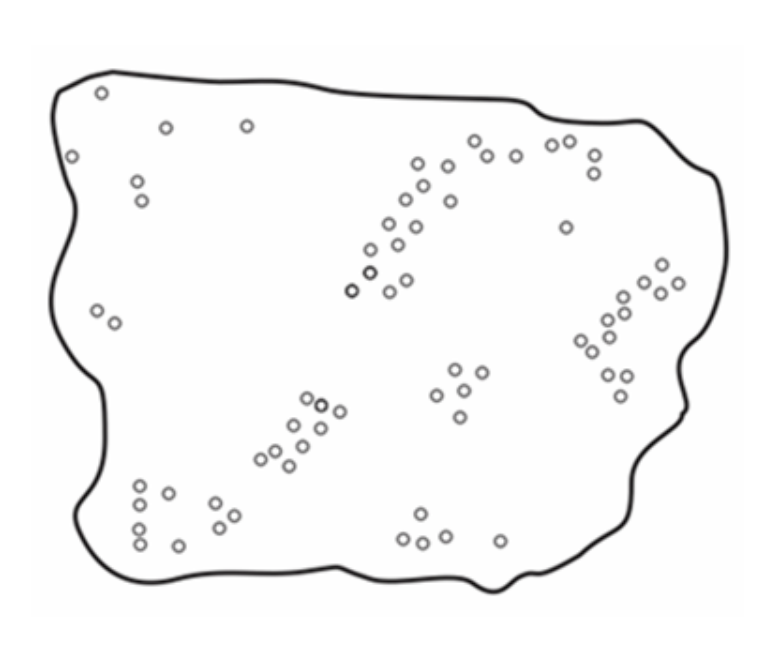
$$Lower(h) = min \left\{ \hat{L}_i(h) \right\}, i = 1, ..., m$$

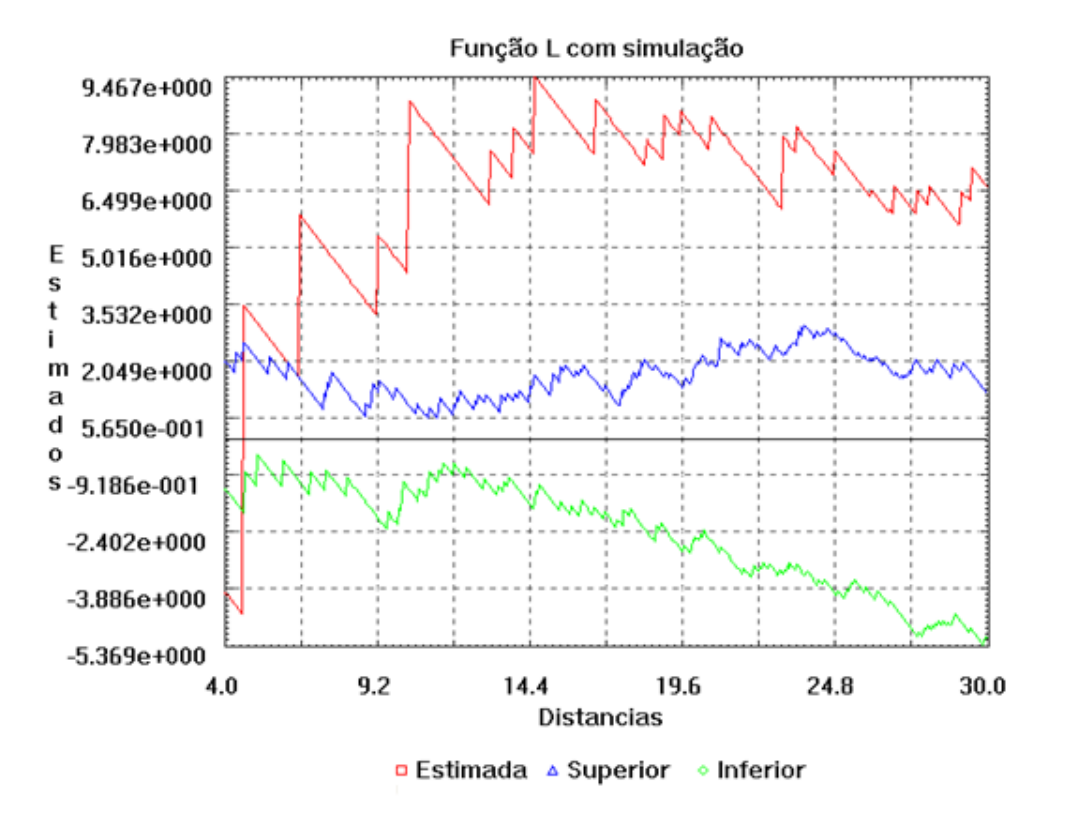
Análise do gráfico $\hat{L}(h)$ com os envelopes Upper(h) e Lower(h).



Exemplo:

Dados de mudas de sequoia distribuídas numa região de 23km².





Encerrar o Roteiro Prático

AULA 1 - Análise de Distribuição de Pontos, da pág. 27 a 30.